



ارائه یک روش ساده و دقیق به منظور تعیین مشخصات سیستم سرمایش تبخیری مستقیم با پد سلولوزی

علی سوهانی^{۱*}، حسین صیادی^۲، یعقوب خسروانی فرد^۳

۱- دانشجوی کارشناسی ارشد، مهندسی مکانیک، دانشگاه صنعتی خواجه نصیرالدین طوسی

۲- دانشیار، مهندسی مکانیک، دانشگاه صنعتی خواجه نصیرالدین طوسی، تهران

۳- دانشجوی کارشناسی ارشد، مهندسی مکانیک، دانشگاه صنعتی خواجه نصیرالدین طوسی

* تهران، صندوق پستی ۱۹۳۹۵-۱۹۹۹، asohani@mail.kntu.ac.ir

چکیده

یک خنک‌کننده تبخیری مستقیم، بهره‌گیرنده از سطوح افزایش دهنده انتقال حرارت و جرم مواد کنار هم (پد) در نظر گرفته شده و با استفاده از معادلات پیش‌بینی دمای هوای خروجی از آن و افت فشار ایجاد شده توسط پد، نسبت به ارائه یک روش ساده و دقیق به منظور تعیین مشخصات خنک‌کننده اقدام شده است. به کمک این روش در هفت گام، مشخصات پد تبخیری از جمله خصامت آن برای استفاده در سیستم سرمایش تبخیری مستقیم که تأمین کننده شرایط آسانی سرمایش حرارتی باشد، قابل تعیین است. پس از معرفی روش، یک واحد مسکونی نمونه 97.1 متری در شهرهای نماینده از اقلیم‌های مختلف آب و هوایی ایران که سرمایش تبخیری در آن‌ها قابل به کارگیری می‌باشد، به عنوان مطالعه موردی انتخاب گردیده و کاربرد روش در تعیین مشخصات سیستم در سه اقلیم آب و هوایی ایران که شهرهای تبریز، تهران و زاهدان نماینده آن‌ها می‌باشند، بررسی گردیده و مشخصات سیستم مناسب از جمله سرعت هوای ورودی به پد، سطح ویژه و ضخامت برای این شهرها استخراج شده است. طبق نتایج به دست آمده، ضخامت پد تبخیری مناسب با سطح ویژه $680 \text{ m}^2 \cdot \text{m}^{-3}$ برای تبریز، تهران و زاهدان به ترتیب 13.8، 6.9 و 11.9 سانتی‌متر می‌باشد.

کلید واژگان: سیستم سرمایش تبخیری مستقیم، پد سلولوزی، روش تعیین مشخصات، اقلیم‌های آب و هوایی ایران

Developing a simple and accurate method for characterization of a cellulose evaporative cooling pad system

Ali Sohani^{*}, Hoseyn Sayyaadi, Yaghoob Khosravanifard

Department of Mechanical Engineering, Khajeh Nasir Toosi University of Technology, Tehran, Iran
* P.O.B. 19395-1999 Tehran, Iran, asohani@mail.kntu.ac.ir

ABSTRACT

A direct evaporative cooler utilizes evaporative pads to improve heat and mass transfer process. In this study, previous published models for prediction of temperature of the cooled air and pad pressure drop were employed and a simple and accurate method for determination of pad's specification was developed. This method calculates the specification of cellulose evaporative cooling pad system in seven stages. As a case study, a benchmark residential unit with the floor area of 97.1 square meters was selected in Tabriz, Tehran and Zahedan as representing cities of diverse climatic conditions of Iran. The proposed method was applied to characterize the proper cooling system parameters, including pad frontal velocity, specific area and pad thickness. According to the results, 6.9, 13.8 and 11.9 cm were the suitable pad thicknesses with specific area of $680 \text{ m}^2 \cdot \text{m}^{-3}$ for Tabriz, Tehran and Zahedan, respectively.

Keywords: Direct evaporative cooler (DEC), cellulosic pad, the method of determination of characteristics, Diverse climatic conditions of Iran

و و همکاران در سال 2009 یک سیستم تبخیری مستقیم را به صورت

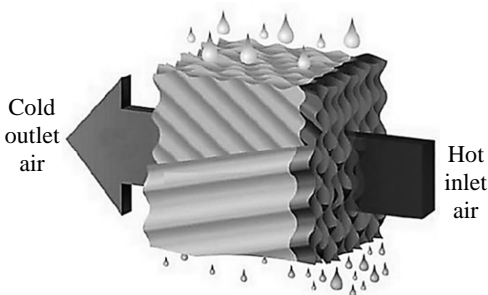
عددی شبیه‌سازی نمودند و تاثیر پارامترهای مختلف بر روی عملکرد آن را مورد مطالعه قرار دادند. طبق نتایج به دست آمده عملکرد سیستم نسبت به تغییرات سرعت هوای ورودی و ضخامت پد در مقایسه با سایر پارامترهای موثر حساس‌تر می‌باشد [1]. حسینی و همکاران در سال 2014 با قرار دادن یک کویل سرمایشی قبل از سیستم سرمایش تبخیری مستقیم اثر پیش‌سرمایش هوای ورودی به آن را بررسی کردند و نشان دادند در صورت 20 درصد نسبت به خنک‌کننده مستقیم افزایش می‌یابد [2]. معرفت و همکاران نیز در سال 2015، سیستم سرمایش ترکیبی کاتال زیزمنی هوا و سرمایش تبخیری مستقیم را مورد مطالعه قرار دادند و گزارش کردند که

۱- مقدمه

سیستم‌های سرمایش تبخیری مستقیم سیستم‌هایی هستند که در آن‌ها آب و هوا در تماس مستقیم با یکدیگر قرار می‌گیرند و هوا در آن‌ها با استفاده از اصل سرمایش تبخیری همراه با افزایش رطوبت خنک می‌گردد. این سیستم‌ها در مقایسه با سایر سیستم‌های سرمایش متداول ارزان، دارای ساختار ساده و مصرف انرژی کم می‌باشند و از این رو در صورتی که مقدار بار نهان فضای تهویه شده زیاد نباشد و در منطقه موردنظر بتوان از این سیستم‌ها بهره گرفت، به عنوان بهترین گزینه مطرح می‌باشد. حتی در صورتی که امکان استفاده از سرمایش تبخیری مستقیم به صورت مستقل برای سرمایش فضا وجود نداشته باشد، می‌توان آن را در ترکیب با یک یا چند سیستم دیگر یا به عنوان خدمت‌دهنده به آن‌ها به کار برد.

برای ارجاع به این مقاله از عبارت ذیل استفاده نمایید:

A.Sohani, H.Sayyaadi, Y.Khosravanifard, Developing a simple and accurate method for characterization of a cellulose evaporative cooling pad system, *Modares Mechanical Engineering, Proceedings of the Second International Conference on Air-Conditioning, Heating and Cooling Installations*, Vol. 16, No. 13, pp. 104-108, 2016 (In Persian)



شکل ۲ شماتیک یک پد [۵]

شکل ۲ شماتیک یک پد [۵]

جدول ۱ مشخصات ساختمان نمونه مورد بررسی [۶]

Table 1 The specification of the benchmark residential unit [6]

مقدار	پارامتر
2.9	ارتفاع سقف (متر)
1.278	ضریب انتقال حرارت دیوارهای خارجی (وات بر متر مربع بر کلوین)
1.204	ضریب انتقال حرارت دیوارهای در مجاورت فضای تهویه نشده (وات بر متر مربع بر کلوین)
3.095	ضریب انتقال حرارتی کلی پنجره (وات بر متر مربع بر کلوین)
341.8	میانگین وزن بر واحد سطح جدارهای هر طبقه (کیلوگرم بر متر مربع)
7	تعداد پنجره‌ها
1.68	مساحت هر پنجره (متر مربع)
5	حداکثر تعداد افراد حاضر در هر طبقه (نفر)

۴- اقلیم‌های به کار گیری و شهرهای نماینده

طبق بررسی‌های انجام شده توسط حسنی بلياني و همکاران [6]، سیستم سرمایش تبخیری مستقیم در سه اقلیم آب و هوایی ايران که شهرهای تبریز، تهران و زاهدان نماینده آنها در نظر گرفته شده اند به تنهایی توانایی رساندن فضای به شرایط آسایش را دارد. شرایط طرح خارج اين سه شهر در جدول ۲ آورده شده است.

۵- محاسبات بار تابستانی

محاسبات بار تابستانی به کمک نرمافزار کریر هپ² صورت گرفته است. در جدول ۳ مقادیر بیشینه بارهای تابستانی هر شهر آورده شده است. با داشتن دمای هوای تغذیه (که در مورد نحوه به دست آوردن آن در بخش ۶ توضیح داده می‌شود) و مقدار بار تابستانی، دمای هوای در فضای مطابق با رابطه (۱) قابل تعیین می‌باشد. همچنین مطابق با آن چه در مرجع [8] آورده شده است، برای ساختمان‌های مسکونی مشابه با واحد در نظر گرفته

جدول ۲ شرایط طرح خارج شهرهای نماینده [6,7]

Table 2 Outdoor design conditions of the investigated cities [6,7]

راهان	تهران	تبریز	پارامتر
1350	1189	1366	ارتفاع از سطح دریا (m)
37.5	37.8	33.9	دماي حباب خشك (°C)
9.9	30.4	23.8	رطوبت نسبی هوای (%)
60.9	51.3	46.2	طول جغرافیایی (°E)
29.5	35.7	37.8	عرض جغرافیایی (°N)

² Carrier HAP 4.50

راندمان این سیستم ترکیبی سازگار با محیط‌زیست در مقایسه با سیستم مستقیم تنها، تا 45 درصد بیشتر است [3].

در این پژوهش با استفاده از معادلات پیشین موجود برای پیش‌بینی افت فشار ایجاد شده توسط پد و دمای هوای خروجی از سیستم سرمایش تبخیری با پد سلولوزی، یک روش ساده و دقیق به منظور تعیین مشخصات آن ارائه گردیده است و کاربرد این روش ساده و قابل استفاده توسعه همه در تعیین مشخصات سیستم برای یک ساختمان نمونه 97.1 متری در اقلیم‌های مختلف آب و هوایی ایران که سرمایش تبخیری در آنها قابل بررسی است به عنوان مطالعه موردی، بررسی شده است.

۲- معرفی خنک‌کننده تبخیری مستقیم مورد بررسی

شماتیک خنک‌کننده تبخیری مستقیم مورد بررسی در "شکل ۱" آورده شده است. این خنک‌کننده یکی از متدالو تربین انواع خنک‌کننده تبخیری مستقیم می‌باشد. در این سیستم از سطوح افزایش دهنده انتقال حرارت و جرم متخلخل موج که با آرایش خاصی در کنار یکدیگر قرار گرفته اند (پد) به منظور افزایش سطح تماس آب و هوای ارتقای بازدهی خنک‌کننده بهره گرفته می‌شود [4]. شماتیک یک پد در "شکل ۲" نشان داده شده است. پد در مقایسه با پوشال دارای عملکرد بهتری است و قابلیت جذب آب بیشتری دارد [5]. هوای بیرون، به وسیله فن گریز از مرکز به داخل خنک‌کننده مکیده می‌شود و پس از عبور از فیلترهای در نظر گرفته شده (در صورت وجود)، از لابه‌لای سطوح افزایش دهنده انتقال حرارت و جرم خیس شده گذر نموده و بنا بر اصل سرمایش تبخیری، دمای آن کاهش و رطوبت مطلقش افزایش می‌باید. سپس این هوای که اصطلاحاً هوای شسته شده¹ نامیده می‌شود، به سمت فضای موردنظر هدایت می‌گردد [4].

۳- معرفی ساختمان نمونه مورد بررسی

طبقه میانی ساختمان مسکونی در نظر گرفته شده در مطالعه حسنی بلياني و همکاران [6] با مساحت 97.1 متر مربع و مشخصات جدول ۱ به عنوان محلی که قرار است به وسیله سیستم تهویه شود در نظر گرفته شده است. فرض گردیده است که کولر حالت نصب در ایوان مورد بهره برداری قرار می‌گیرد.

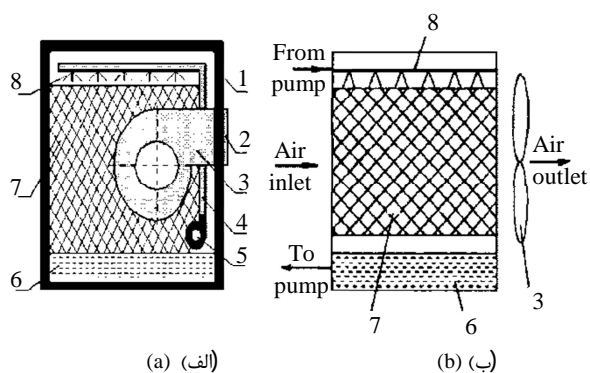


Fig. 1 Schematic of investigated DEC (a) The operation principle (b) Components [1]

شکل ۱ شماتیک خنک‌کننده تبخیری مستقیم مورد بررسی، (الف) اساس کارکرد (ب) اجزا [1]

¹ Washed air

هوای ورودی، ضخامت بخش انتقال حرارت و جرم و سطح تر شده به ازای واحد حجم (سطح ویژه³) پد که مطابق رابطه (3) تعریف می‌گردد، می‌باشد.

$$A_{\text{spec}} = \left(\frac{A_{\text{HMT}}}{V_{\text{ol}}} \right)_{\text{pad}} \quad (3)$$

7- تعیین افت فشار

افت فشار، شامل افت فشار ایجاد شده توسط پد و افت فشار در کانال‌های توزیع و انتقال هوا می‌باشد. افت فشار ایجاد شده توسط پد، به کمک شبکه عصبی که توسط سوهانی و همکاران [8] به دست آمده است، قابل تعیین می‌باشد. این شبکه عصبی با استفاده از استخراج 4186 داده از پژوهش‌های منتشر شده پیشین و با استفاده از نرم‌افزار متلب به دست آمده است. توانمندی این مدل و مدل تحلیلی ارائه شده توسط حسینی و همکاران [11] در پیش‌بینی داده‌های تجربی ارائه شده توسط مالی و همکاران [12]، در جدول 5 با یکدیگر مقایسه شده است که همان‌گونه که ملاحظه می‌شود نتایج نشان از دقت بالاتر مدل در مقایسه با مدل تحلیلی پیشین دارد.

در صورتی که فرض شود، روش تعیین ابعاد کانال، روش افت اصطکاکی یکسان بوده است، افت فشار ایجاد شده در کانال بر حسب پاسکال از رابطه (4) به دست می‌آید [13].

$$\Delta P_{DC} = (4616211)(1+er)f_{\epsilon} \left(\frac{L_{\text{maxp}}}{D_e^{1.22}} \right)^{1.82} \left(\frac{V_{DC}}{1000} \right) \quad (4)$$

همچنین با فرض استفاده از خفه‌کن با پره‌های در خلاف جهت هم مقدار افت فشار دریچه نیز ثابت و برابر 10 درصد مجموع افت فشار در کانال و پد در نظر گرفته شده است [13]. مقدار ضریب افت فشار زانویی‌ها نیز برابر 0.4 فرض شده است. جنس کانال نیز از ورق گالوانیزه معمولی با ضریب اصطکاک 0.9 می‌باشد. همچنین مطابق با آن چه در مرجع [7] فرض شده فرض می‌گردد که بین هد اصطکاکی فن در حالت پایه و حالت مورد بررسی و افت‌های فشار رابطه خطی برقرار است. همچنین طول دورترین کانال کشی 12 متر می‌باشد. به علاوه فرض می‌گردد که کانال‌های انتقال هوا قبل از انتخاب کولر و در مرحله ساخت ساختمان نصب گردیده و ابعاد آن‌ها مشخص می‌باشد.

8- معرفی روش تعیین مشخصات سیستم

در این قسمت، یک روش ساده به منظور تعیین ضخامت پد مناسب برای سیستم‌های سرمایش تبخیری ساخته شده موجود در بازار با ابعاد و فن نصب پیش‌بینی می‌باشد.

جدول 5 مقایسه قدرت مدل سوهانی و همکاران [8] و مدل تحلیلی پیشین [11] در پیش‌بینی داده‌های تجربی مالی و همکاران [12]

تحلیلی پیشین [11]	تجربی	$V_{\text{air,in}}$ (m.s ⁻¹)	افت فشار ایجاد شده توسط پد (Pa)	سوهانی و همکاران [8]
11.5	9.3	13.8	1.8	
18.1	15.2	19.1	2.3	
23.1	19.4	23.4	2.6	
30.8	25.8	30.3	3	
35.1	29.4	34.2	3.2	
45.3	37.0	43.3	3.6	
56.4	45.8	53.8	4	
5.3	18.3	میانگین خطای (%)		

³ Specific area

⁴ opposed blade damper

جدول 3 بیشینه بار تابستانی در شهرهای نماینده بر حسب واحد

Table 3 Maximum cooling load in the representing cities in Watts

تهران	زاهدان	تبریز
3874.1	3573.2	3245.3

شده، مقدار رطوبت موجود در فضا را با مقدار رطوبت هوای خروجی از کولر می‌توان تقریب زد.

$$T_{\text{space}} = T_{\text{sa}} + \frac{q}{\rho Q c_p} \quad (1)$$

6- تعیین دمای هوای خروجی از خنک‌کننده

دمای هوای خروجی از خنک‌کننده به کمک رابطه ارائه شده در مقاله سوهانی و همکاران [8] رابطه (2) که با استفاده از روش آماری رگرسیون خطی چندگانه¹ به دست آمده است، قابل تعیین می‌باشد. چنان که در مرجع [8] به تفصیل آورده شده است، برای به دست آوردن رابطه (2)، تعداد 1006 داده از عملکرد سیستم به ازای مقادیر مختلف پارامترهای موثر از مطالعات پیشین منتشر شده استخراج گردیده و سپس با استفاده از ابزارهای موجود در نرم‌افزار متلب² رابطه به دست آمده است. این رابطه با فرض عملکرد سیستم در شرایط پایا، ثابت ماندن دمای حباب‌تر (و به طور تقریبی انتالپی) جریان هوای در طول عبور از پد و قابل صرف‌نظر بودن ضخامت لایه آب به دست آمده است [8]. همچنین دمای آب اسپری شده روی پد برای با دمای حباب‌تر هوای ورودی در نظر گرفته شده است که طبق آن چه در مرجع [8] بحث گردیده است، از آن‌جا که ویژگی‌های هوای ورودی که با استفاده از آن‌ها این دما قابل تعیین می‌باشد در این رابطه داده شده است، نیازی به در نظر گرفتن آن به عنوان یک پارامتر موثر به طور جداگانه نیست. دقت مدل سوهانی و همکاران [8] و مدل تحلیلی ارائه شده توسط دودی و کارباش [9] در پیش‌بینی داده‌های تجربی شنگ و نانا [10] در جدول 1 با یکدیگر مقایسه شده است. شایان ذکر است که این داده‌ها به منظور ساخت مدل در پژوهش [8] به کار نرفته‌اند. چنان که اعتبارسنجی انجام شده قابل ملاحظه است، مدل ارائه شده در [8] با دقت بیشتری نسبت به مدل تحلیلی دمای هوای خروجی از پد را پیش‌بینی می‌نماید.

پارامترهای موجود در سمت راست رابطه (2) به ترتیب، دما، رطوبت و سرعت

$$T_{\text{sa}} = 2.5433 + 0.84056 T_{\text{air,in}} + 0.15121 \varphi_{\text{air,in}} + 0.84643 V_{\text{air,in}} - 26.952 \delta_{\text{pad}} - 0.016312 A_{\text{spec}} \quad (2)$$

جدول 4 مقایسه قدرت مدل سوهانی و همکاران [8] و مدل تحلیلی پیشین [9] در

پیش‌بینی داده‌های تجربی شنگ و نانا [10]

Table 4 Comparison of prediction ability of Sohani et al. [8] and previous analytical [9] models in prediction of experimental data were reported by Sheng and Nnana [10]

تحلیلی پیشین [9]	سوهانی و همکاران [8]	تجربی	$V_{\text{air,in}}$ (m.s ⁻¹)	دمای هوای خروجی از پد (°C)
25.0	24.6	23.7	0.8	
25.3	24.9	25.4	1.1	
25.6	25.1	25.7	1.4	
26.0	25.4	25.8	1.8	
26.3	25.5	26.0	2.1	
26.8	25.8	26.3	2.6	
27.2	25.9	27.1	3.0	
1.4	2.5			میانگین خطای (%)

¹ Multiple linear regression

² MATLAB

شده در بخش 4 به کار رفته است. فرض شده است که خانواده محصولات ساخت شرکت انرژی که مشخصات آنها در جدول 7 آورده شده است، کولرهای آبی موجود هستند که می‌توان از بین آنها انتخاب نمود. این کولرهای دارای تجهیزی به نام رسوپ گیر¹ هستند که کیفیت آب را مناسب نموده و باعث طولانی شدن عمر پد و مستقل شدن عملکرد نسبت به کیفیت آب می‌گردد. همچنین پد تبخیری قابل استفاده نیز، پد CELdek 5090 شرکت مانترز² با سطح ویژه 680 m².m⁻³ و زوایای a و b به ترتیب برابر 60° و 30° می‌باشد.

مقادیر ضخامت اولیه 1 میلی‌متر و گام 0.1 میلی‌متر انتخاب شده است و با استفاده از کدهای نوشته شده در نرم‌افزار متاب نتایج در جدول 8 آورده شده است. چنان که ملاحظه می‌شود ضخامت مناسب پد برای شهرهای تبریز، تهران و زاهدان به ترتیب 6.9، 13.8 و 11.9 سانتی‌متر می‌باشد. این مقادیر در هر سه شهر مورد بررسی کمتر از مقادیر کنونی پد می‌باشد. بنابراین ملاحظه می‌گردد که با استفاده از این روش و تعیین ضخامت پد مناسب در هر شهر، هم می‌توان یک خانواده محصول مشخص را در تمام شهرها به صورتی که شرایط آسایش حرارتی را تامین نماید، قابل استفاده نمود و هم در بسیاری از شهرها در مصرف پد و هزینه‌های اولیه و جاری صرفه‌جویی نمود.

10-جمع‌بندی

در این پژوهش، با استفاده از معادلات پیشین موجود، روشی به منظور تعیین ضخامت پد مناسب برای سیستم‌های سرمایش تبخیری ساخته شده موجود در بازار با ابعاد و فن نصب شده معلوم معرفی شد و در ادامه کاربرد روش در تعیین ضخامت پد مناسب برای یک ساختمان مسکونی نمونه با مساحت پد سلولوزی برای یک طبقه میانی یک ساختمان مسکونی نمونه با مساحت 97.1 متر مربع در اقلیمهای مختلف آب و هوایی ایران که سیستم در آن‌ها قابل به کار گیری است، به عنوان مطالعه موردی بررسی گردید. با استفاده از روش معرفی شده، در شهرهای تبریز، تهران و زاهدان مقدار ضخامت پد، به دست آمد. با استفاده از این روش و تعیین ضخامت پد مناسب در هر شهر، می‌توان یک خانواده محصول مشخص را در تمام شهرها به صورتی که شرایط آسایش حرارتی را تامین نماید، قابل استفاده نمود و در بسیاری از شهرها در مصرف پد و هزینه‌های اولیه و جاری صرفه‌جویی نمود.

جدول 7 مدل‌های موجود سیستم سرمایش تبخیری ساخت شرکت انرژی [15]

Table 7 The available direct evaporative coolers which are produced by Energy Company [15]

مدل	طول بدن	ارتفاع بدن	عمق	هوادهی (cm ³ .hr ⁻¹)	ضخامت پد (cm)
EC 6	0.900	0.900	0.900	6460	10.0
EC 7	0.900	1.110	0.900	8280	15.0
EC 11	1.210	1.057	1.057	11000	22.0
EC 18	1.500	1.681	1.500	18000	25.0

جدول 8 نتایج به دست آمده از تعیین ضخامت پد مناسب به کمک روش معرفی شده

Table 8 The obtained results of determination of suitable pad thickness by the introduced method

شهر	ACH	مدل	V _{air,in} (m.s ⁻¹)	δ _{pad} (cm)	T _{sa} (°C)
تبریز	0.33	EC 6	0.397	6.9	24.5
تهران	0.5	EC 7	0.409	13.8	26.9
زاهدان	0.5	EC 7	0.432	11.9	26.1

¹ Scale eliminator

² Munters

شده معلوم ارائه می‌گردد. از آنجا که در چنین حالی، افزایش ضخامت پد بیش از حد نیاز، موجب افزایش هزینه‌های اولیه خریداری آن و همچنین هزینه‌های جاری ناشی از افزایش مصرف آب و همین طور کاهش هوادهی کولر می‌شود، مناسب‌ترین مقدار این کمیت، کمینه مقدار تامین کننده شرایط آسایش حرارتی است [8] که با استفاده از معادلات (1) تا (4) طی هفت گام معرفی شده در ادامه می‌توان مقدار آن را به دست آورد.

1- شرایط آب و هوایی، مقدار بار تابستانی و مسیر دارای بیشترین افت اصطلاحکاری برای فضایی که قرار است عملیات تهویه آن به وسیله سیستم انجام شود، تعیین می‌گردد.

2- مقدار هوادهی موردنیاز کولر در منطقه مورد بررسی از رابطه (5) تعیین شده و با مراجعه به دفترچه محصولات سازنده اولین مدل با هوادهی نامی بزرگتر یا مساوی با مقدار به عنوان مدل مورد استفاده برگزیده می‌شود.

$$\text{Aeration} = ACH \times Vol_{sapce}$$

(5)

در این رابطه، ضریب ACH ضریب تعداد دفعات تعویض حجم فضای تهویه شده توسط دبی هوای تامین شده به وسیله سیستم می‌باشد که مقدار آن به صورت سرانگشتی برای سیستم سرمایش تبخیری مستقیم از جدول 6 قابل تعیین است [14].

3- مقدار مساحتی که پدها بر روی بدن کولر قابل نصب هستند و همین طور مقدار سطح ویژه پد مورد استفاده تعیین می‌شود.

4- یک ضخامت اولیه و یک گام برای آن در نظر گرفته می‌شود. با ضخامت اولیه به گام 5 می‌رویم.

5- مقدار سرعت هوای عبوری از پد در رابطه افت فشار جایگزین می‌گردد که منجر به معادله‌ای براساس این سرعت مجھول می‌شود. سپس با در اختیار داشتن منحنی دبی - هد فن، مقدار سرعت مجھول در ضخامت پد مورد بررسی به دست می‌آید.

6- با معلوم بودن همه پارامترهای موثر، دمای هوای خروجی از پد از رابطه (2) به دست آمده و سپس دمای هوای فضای به دست می‌آید.

7- با توجه به معلوم بودن شرایط هوای خروجی از کولر و هوای اتاق براساس روابط و فرض‌های اشاره شده، قرار داشتن فضا در داخل ناحیه آسایش حرارتی بررسی می‌گردد. در صورت قرار داشتن فضا در شرایط آسایش به ازای ضخامت در حال بررسی ضخامت پد مناسب، مقدار کنونی این کمیت می‌باشد. در غیر این صورت ضخامت پد به علاوه گام در نظر گرفته شده گردیده و محاسبات از مرحله 5 از سر گرفته می‌شود.

9- تعیین ضخامت پد مناسب به کمک روش ارائه شده برای مطالعه موردنی

در این قسمت، روش معرفی شده به منظور انتخاب ضخامت مناسب پد تبخیری برای فضای نمونه مورد بررسی و در سه اقلیم آب و هوایی معرفی

جدول 6 ضریب دفعات تعویض حجم فضای تهویه شده توسط دبی هوای تامین شده به وسیله سیستم سرمایش تبخیری به صورت سرانگشتی [14]

Table 6 The value of air change coefficient (ACH) for determination of aeration of direct evaporative cooler by Eq. (5) [14]

نوع آب و هوای	ضریب
معتدل	0.33
گرم	0.50
خیلی گرم	1.0

- cooling effects on saturation effectiveness of evaporative coolers, *Modares mechanical engineering*, Vol. 13, pp. 188-199, 2014. (in Persian)
- [3] M. Marefat, S. Ahmadi, A. Haghghi Poshtiri, Investigation and performance analysis hybrid cooling system of air underground channel and direct evaporative cooler, *Modares mechanical engineering*, Vol. 15, No. 5, pp. 137-144, 2015. (in Persian)
- [4] J. M. Wu, X. Huang, H. Zhang, Theoretical analysis on heat and mass transfer in a direct evaporative cooler, *Applied Thermal Engineering*, Vol. 29, No. 5-6, pp. 980-984, 2009.
- [5] PASTCO designer and manufacture of modern greenhouse. *fan and pads*, Accessed May, 5, 2015; <http://www.patsco.ir/tabid/69/default.aspx>. (in Persian)
- [6] H. Hasani Balyani, A. Sohani, H. Sayyaadi, R. Karami, Acquiring the best cooling strategy based on thermal comfort and 3E analyses for small scale residential buildings at diverse climatic conditions, *International Journal of Refrigeration*, Vol. 57, pp. 112-137, 2015.
- [7] A. Sohani, H. Sayyaadi, S. Hoseinpouri, Modeling and multi-objective optimization of an M-cycle cross-flow indirect evaporative cooler using the GMDH type neural network, *International Journal of Refrigeration*, Vol. 69, pp. 186-204, 2016.
- [8] A. Sohani, M. Zabihiogivi, M. H. Moradi, H. Sayyaadi, H. H. Balyani, A Comprehensive Performance Investigation of Cellulose Evaporative Cooling Pad Systems Using Predictive Approaches, *Applied Thermal Engineering*, Vol. 110, pp. 1589-1608, 2017.
- [9] Dowdy, J. and N. Karabash, Experimental determination of heat and mass 103 transfer coefficients in rigid impregnated cellulose evaporative media. 104 ASHRAE Transactions, 1987. 93(2): p. 382-95.
- [10] C. Sheng, A. G. Agwu Nnanna, Empirical correlation of cooling efficiency and transport phenomena of direct evaporative cooler, *Applied Thermal Engineering*, Vol. 40, pp. 48-55, 2012.
- [11] R. Hosseini, A. Beshkani, M. Soltani, Performance improvement of gas turbines of Fars (Iran) combined cycle power plant by intake air cooling using a media evaporative cooler, *Energy Conversion and Management*, Vol. 48, No. 4, pp. 1055-1064, 2007.
- [12] A. Malli, H. R. Seyf, M. Layeghi, S. Sharifian, H. Behravesh, Investigating the performance of cellulosic evaporative cooling pads, *Energy Conversion and Management*, Vol. 52, No. 7, pp. 2598-2603, 2011.
- [13] Carrier Air Conditioning, *Handbook of air conditioning system design*: McGraw-Hill Interamericana, 1965.
- [14] B. E. Bhaita. *Principles of Evaporative Cooling System*, Accessed May, 6, 2015; www.pdhonline.org/courses/m231/m231content.pdf.
- [15] Energy development. *The specification of Energy coolers*, Accessed September 4, 2016; <http://en.energyind.com/?part=productcategory&inc=productcategory&id=35>.

11- فهرست علائم

A	مساحت (m^2)
A_{spec}	سطح ویژه ($m^2 \cdot m^{-3}$)
ACH	ضریب تعداد دفعات تغییض حجم فضای تهویه شده
$Aeration$	توسط دبی هوای سیستم
D_e	هوادهی کولر ($m^3 \cdot hr^{-1}$)
er	قطر هیدرولیکی معادل کانال مستطیلی (m)
f_ϵ	نسبت افت فشار زانویها و وصاله‌ها به افت فشار طولی
L	طول (m)
T	($^{\circ}C$) دما
V	سرعت ($m.s^{-1}$)
Vol	حجم (m^3)
علائم یونانی	
δ	ضخامت پد (m)
ΔP	افت فشار (Pa)
φ	رطوبت نسبی (%)
زیرنویس‌ها	
هوای	air
کانال‌های توزیع و انتقال هوای	DC
شمارنده داده	i
ورودی	in
سطح انتقال حرارت و جرم	HMT
خروجی	out
پد	pad
فضای تهویه شده	space

12- مراجع

- [1] J. M. Wu, X. Huang, H. Zhang, Numerical investigation on the heat and mass transfer in a direct evaporative cooler, *Applied Thermal Engineering*, Vol. 29, No. 1, pp. 195-201, 2009.
- [2] S. Hosseini, G. Heidarnejad, H. Pasdarshahri, Verification of pre-